

الطلاء بسببيكة اساس (Zn-Ni) لحماية الفولاذ الكاربوني من التآكل

Protective the carbon steel from corrosion by coating (Zn-Ni) alloy

نبأ ستار راضي

د.جليل كريم احمد

جامعة بابل/كلية هندسة المواد/قسم المعدنية

جامعة بابل/كلية التمريض

Abstract:

In this research an attempt to introduce an additional improvement on the properties of (Zn-Ni) electroplated layer. In this work electrodeposited layer of different thickness of (Zn-Ni) from an alkaline solution is performed on samples of low carbon steel. X-ray fluorescent (XRF) used to determine the chemical composition of (Zn-Ni) deposited layer as well as x-ray diffraction (XRD) technique is used to determine the phases of the electrodeposits layer.

Keywords: Electrodeposited, (Zn-Ni) coated layer, electroplated, (XRF), (XRD), different thickness coated.

الخلاصة:

في البحث الحالي تم ترسيب طبقة الطلاء (Zn-Ni) كهربائياً على نماذج من الفولاذ واطئ الكاربون من محلول طلاء قاعدي التركيب وبسمك طلاء مختلف ، وقد تم إستخدام تقنية فلورة الأشعة السينية (XRF) لمعرفة نسب مكونات طبقات الطلاء من الخارصين والنikel ، كما تم استخدام تقنية حيود الأشعة السينية (XRD) للتحليل الكيميائي لمكونات طبقات الطلاء .

الكلمات الأساسية : الترسيب الكهربائي،طبقة طلاء (Zn-Ni)، تقنية فلورة الأشعة السينية (XRF)، تقنية حيود الأشعة السينية (XRD)، سمك طلاء مختلف.

المقدمة :Introduction

يعد الطلاء الكهربائي بالمواد المقاومة للتآكل من التقنيات المتطورة والتي تساهم إلى حد كبير في الحد من مشكلة التآكل فهو طريقة مثالية لاسوء المعادن بطبقة سطحية رقيقة لها مواصفات تفوق مواصفات المعدن الاساس (Base metal) [المعهد المتخصص للصناعات الهندسية، ١٩٨٩] .

كما يمتلك الطلاء الكهربائي أهمية خاصة في العمليات التكميلية بإكسابها مواصفات جيدة لمقاومة التآكل (Corrosion) والحك (Abrasion) . في بعض الاحيان يستخدم الطلاء لتعديل أبعاد الجزء المطلي [محمد عبد المهدي، ٢٠٠٠]. كما إن له أهمية كبيرة في الحصول على سطح ناعم ودقة عالية في الابعاد وتجانس للسطح وإعطاء مظهر جميل . وقد جرت بحوث عديدة لتحسين أداء طبقات الطلاء وذلك بزيادة لدونتها وتلاصقها وتحسين خواصها الميكانيكية ، [J.A.Murphy,1971] . نال الطلاء الكهربائي بسببيكة (Zn-Ni) أهمية كبيرة وتطبيقات واسعة في حماية الفولاذ لما تمتاز به من مقاومة جيدة ضد التآكل في معظم الاوساط الآكلة . لاسيما إذا كانت

نسبة النيكل في سبيكة (Zn-Ni) هي تقريباً (10%) وهذه النسبة تعطي تحسناً واضحاً في الخواص الميكانيكية [I.H.Karahan,2008] ، ومقاومة التآكل لهذه السبيكة تفوق مقاومة التآكل للكادميوم والتيتانيوم بأكثر من أربع مرات [P.Ganesan,S.P.Kumaraguru,B.N.Popov,USA, 2007] . كما إنها تخلو من السمية ولا يؤثر على البيئة عند مقارنتها بالكادميوم والكروم ، [H.Fennessey,1994]

الجزء العملي :Practical Part

النماذج المستخدمة :Samples Used

النماذج المستخدمة عبارة عن فولاذ منخفض الكاربون (Low carbon steel(L.C.S)) المبين تركيبه الكيميائي في الجدول (1) . حيث تم إجراء التحليل الكيميائي بإستخدام جهاز التحليل الطيفي للمعادن الموجود في الشركة العامة للصناعات الميكانيكية في الأسكندرية .

لقد تم تحضير العينات على هيئة أقراص بسمك (2mm) وبقطر (15mm) ، أي أن مساحتها السطحية الكلية تساوي (447.677mm²) . لقد تم تحضير سطوح العينات بالشكل الآتي تمت عملية التعيم (Grinding) بصورة كاملة بإستخدام أوراق التجلیخ (Grit silicon carbide papers) والتي كانت بالترتيب الآتي (240,220,400,600,800,1000,1200) . تم بعد ذلك تنظيف سطوح العينات بالمحاليل القاعدية والحامضية ، تم بعد ذلك اجراء عملية الطلاء الكهربائي للعينات حسب زمن الطلاء المطلوب لكل عينة .

مستلزمات عملية الطلاء الكهربائي :Equipments For Electroplating process

أُجريت عملية الطلاء الكهربائي في حوض مصنوع من مادة البولي أثيلين على شكل متوازي مستطيلات بأبعاد cm (29x21x18) ، ويستخدم في عملية الطلاء مجهز قدرة (Power) يمكنه إعطاء تيار يتراوح A(0-6) ، أما فرق الجهد المعطى يتراوح V(0-20) .

يبين الشكل (1) رسمياً تخطيطاً لخلية الطلاء الكهربائي ، يوضح فيه موقع الأقطاب . القطبان الموجبان (Anodes) ، يتم تعليقهما بحوالم (Hooks) من النحاس والتي تمثل أقطاب من الخارجيين بشكل صفيحة (Plate) بأبعاد mm (35x20x5) تحتوي على ثقب بقطر (2mm) لأمكانية التعليق بالحوامل النحاسية . أما القطب السالب (Cathode) فيمثل النماذج المستخدمة وهي من الفولاذ الكاربوني المبين تكوينه في الجدول (1) والتي تعلق بحامل (Hook) من النحاس أيضاً ، تكون المسافة بين القطب السالب والأقطاب الموجبة حوالي (70mm) .

المحاليل المستخدمة في عملية الطلاء :Composition Of Electroplating Baths

استخدمت خلال فترة البحث حوض الطلاء الذي يحتوي على محلول طلاء سبيكة (Zn-Ni) ، الجدول (2) يبين مكونات حوض الطلاء والظروف التشغيلية له ، [Manida Teeratananon,2004].

عملية الطلاء الكهربائي : Electroplating Process

تم تحديد نسب مكونات لترتين من المحلول بميزان كهربائي حساس بدقة $\pm 0.1\text{mg}$. جرى بعد ذلك وضع المحلول في داخل حوض الطلاء (بعد قياس الأس الهيدروجيني له) . كان محلول الطلاء يحضر قبل (24 ساعة) من عملية الطلاء ويرج لمدة ساعة واحدة قبل البدأ بعملية الطلاء.

ثبتت الأقطاب الموجبة والنماذج المراد طلاوتها ، وجهز الحوض بكثافة التيار والفولتية المطلوبة عند درجة الحرارة اللازمة لعملية الطلاء . بعد انتهاء الفترة الزمنية المطلوبة لترسيب سلك معين من الطلاء على المعدن تستخرج النماذج من حوض الطلاء وتغسل بالماء المقطر ثم الكحول وتجفف بيئار من الهواء الساخن ، بعد ذلك تأخذ قراءات الوزن ، ثم تحفظ النماذج في الحافظة الزجاجية (Glass desiccators) للخلاص من الرطوبة المسيبة للتآكل .

الاختبارات : Tests

تم في البحث الحالي إجراء الاختبارات الآتية وذلك لتقييم أداء طبقات الطلاء :

قياس سلك طبقة الطلاء : Measurement Of Coating Thickness

في البحث الحالي تم اعتماد طريقتين لقياس سلك طبقات الطلاء .

- الطريقة الأولى تمت باستخدام جهاز قياس سلك طبقة الطلاء (Coating thickness gauge) ، لقد كانت دقة الجهاز $\pm 0.1\mu\text{m}$. أن مبدأ عمل الجهاز يعتمد على الموجات فوق الصوتية.
 - الطريقة الثانية : فكانت تعتمد على قياس سلك النموذج قبل الطلاء ، ثم قياس سلك النموذج بعد الطلاء والفرق في السلك يمثل سلك طبقة الطلاء . في كلتا الطريقتين تم اعتماد ثلاثة قراءات لكل وجهي العينة ثم تأخذ المعدل لهذه القراءات ، والذي يمثل سلك طبقة الطلاء .
- في البحث الحالي كان سلك طبقة الطلاء بحدود $(10,25,35\mu\text{m})$ اعتماداً على زمن الطلاء الذي كان $(15,30,60 \text{ min})$ على الترتيب .

فلورة الأشعة السينية (XRF)

تم إيجاد نسب مكونات طبقات طلاء (Zn-Ni) ، باستخدام جهاز (X-MET 3000 TX) ، عن طريق تقنية فلورة الأشعة السينية ، لقد تم اعتماد الطريقة الكمية في فحص عينات البحث .

اختبار حيود الأشعة السينية (XRD)

تم إجراء التحليل المعدني بطريقة حيود الأشعة السينية لمعرفة التركيب البلوري لطبقة الطلاء المترسبة ، لعينات الفولاذ الكاريوني المطلية بطبقة (Zn-Ni) التي تكون ذات سلك طلاء مختلف . ومن خلال تطبيق قانون براك (Bragg law) لحيود الأشعة السينية يمكن الحصول على قيم (hkl) المسافة بين المستويات البلورية ، والذي ينص على :

$$n\lambda = 2d \sin\theta \quad (1)$$

حيث إن :

n : عدد صحيح .

λ : الطول الموجي.

d : المسافة بين المستويات البلورية والتي تحسب من قانون براك .

θ : زاوية سقوط الاشعة السينية (والتي يمكن إستخراجها من المخطط الذي يعطيه مسجل الحيدود) ، ونقوم بمقارنة قيم (θ) التي يتم الحصول عليها من الرسم البياني لحيدود الاشعة السينية للعينة قيد الفحص مع قيم (θ) الموجودة في بطاقات حيدود الاشعة السينية الصادرة من قبل N 1997 JCPDS-International Centre for Diffraction Data .

اختبار مقاومة التآكل :Corrosion Test

تشتمل اختبارات التآكل على طريقة فقدان الوزن (weight loss).

• طريقة فقدان الوزن (weight loss) :

ان طريقة فقدان الوزن هي ابسط طرق قياس معدل التآكل او ما تسمى بطريقة الغمر البسيط حيث تم غمر عينات الفولاذ من دون طلاء وعينات الفولاذ المطلية بسبائك (Zn-Ni) ذات أسماك طلاء مختلفة ، في الأوساط التآكلية التالية :

١- ماء الحنفيه الاعتيادي .

٢- محلول ملحي من كلوريد الصوديوم وبتركيز (3% NaCl) وزناً.

٣- محلول حامض الهيدروكلوريك وبتركيز (3% HCl) حجماً.

تم غمر عينات الفولاذ المنخفض الكاربون في جميع الأوساط المذكورة اعلاه وذلك لأن الفولاذ الكاربوني يتأثر بجميع المحاليل الالكتروليتية ولكن بدرجات متفاوتة. مدة غمر العينات في المحاليل تباينت ايضاً واعتماداً على نوع محلول الالكتروليتي .

تم قياس اوزان العينات بواسطة الميزان الحساس وحساب المساحة السطحية لكل منها قبل غمرها في المحاليل وبعد أزمنة متباعدة يتم إخراج العينات من المحاليل وتتنظر بالماء المقطر والكحول وتجفف ويتم حساب التغير بالوزن لوحدة المساحة ($\frac{\Delta W}{A}$) حيث يتم اخذ عدة قراءات وصولاً الى اقصى مدة زمنية ثم جرى رسم العلاقة بين التغير بالوزن لوحدة المساحة مقابل زمن الغمر .

اختبار طبوغرافية السطح : Topographic examination

تم فحص سطح النماذج بإستخدام مجهر ضوئي، وقد تمت معالجة الصورة بواسطة برنامج (ACT-1).

حيث تم إجراء الفحص لثلاث عينات فولاذ مطلية بطبقة (Zn-Ni) ذات أسماك طلاء مختلفة ، بإستخدام عدسة ذات قوة تكبير (1000-X) .

النتائج والمناقشة:

تم إجراء اختبار حيود الاشعة السينية (XRD) للتأكد من نوع الطور المترسب كهربائياً على عينة الفولاذ الكاربوني ، وهل هو الطور (8) أم لا . الجداول (a3,b3 and c3) والأشكال (a2,b2 and c2) الموضحة في أدناه تبين نتائج اختبار حيود الاشعة السينية . ومن ملاحظة أطيف حيود الاشعة السينية (XRD) لعينة مطلية بسبيكة $Zn-Ni$ 30 min عند مقارنتها مع زوايا الحيود في بطاقات (JCPDS) لنفس السبيكة تطابقاً واضحاً عند الزوايا $39.133, 41.982, 42.923, 43.037, 45.305^\circ$ ، كما مبين في الجدول (a3) .

أما نتائج اختبار الحيود لطبقة الطلاء $Zn-Ni$ 30 min فهي موضحة بالشكل (b2) ، ومن ملاحظة أطيف حيود الاشعة السينية (XRD) لعينة مطلية بسبيكة $Zn-Ni$ 30 min عند مقارنتها مع زوايا الحيود في بطاقات (JCPDS) لنفس السبيكة تطابقاً واضحاً عند الزوايا $36.356, 39.028, 43.032, 43.262, 44.642^\circ$ ، كما مبين في الجدول (b3) .

أما نتائج اختبار الحيود لطبقة الطلاء $Zn-Ni$ 15 min فهي موضحة بالشكل (c2) ، ومن ملاحظة أطيف حيود الاشعة السينية (XRD) لعينة مطلية بسبيكة $Zn-Ni$ 15 min عند مقارنتها مع زوايا الحيود في بطاقات (JCPDS) لنفس السبيكة تطابقاً واضحاً عند الزوايا $36.330, 39.034, 43.261, 44.658, 45.305^\circ$ ، كما مبين في الجدول (c3) .

إن كثافة التبلور للسبائك المترسبة كانت عند الاتجاه [331] مقابل زوايا الحيود 43.261° لعينة مطلية بسبيكة $Zn-Ni$ 15 min ، وكذلك لعينة مطلية بسبيكة $Zn-Ni$ 30 min ، أما بالنسبة لعينة مطلية بسبيكة $Zn-Ni$ 60 min . فإن كثافة التبلور كانت عند الاتجاه [330] مقابل زوايا الحيود 43.037° .

من ملاحظة الأشكال (a2,b2 and c2) نستنتج أن الشكل (a2) الأكثر تبلور ثم الشكل (b2) ثم الشكل (c2) تبلور وذلك بسبب قلة عدد القمم (Peaks) الظاهرة في الشكل (a2) ، إن معرفة طبقة الطلاء الأكثر تبلور تقييد في معرفة أي طبقة طلاء أكثر تجانس والتي تمتاز بخواص تأكل جيدة .

ان اختبار طوبوغرافية السطح اعطى حجم الحبيبات فقط ولم يحدد الاطوار المترسبة لانه كما نعلم ان تحديد الاطوار يتم باستخدام المجهر الالكتروني الماسح (SEM) والغير متوفّر في قطرنا العزيز ، بل تم الاختبار كما بينا سابقاً باستخدام المجهر الضوئي .

يبدو واضحاً من الأشكال (a3,b3 and c3) الفرق في حجم الحبيبات الطلاء المترسبة على سطح العينات الفولاذية ، إذ إن الطلاء بطبقة $Zn-Ni$ يكون ذا حبيبات ناعمة وهذا يعزى إلى طبيعة الطلاء المعدني الذي يمتاز بحببيات صغيرة الحجم قليلة المسامية كما مبين في الشكل (a3) وهذا يعود إلى زمن الطلاء الطويل الذي يساعد على ترسيب حبيبات ناعمة وهذا كان واضحاً من نتائج اختبار حيود الاشعة السينية اذ اظهرت ان هذه الطبقة اكثر تبلور وذلك بسبب قلة عدد القمم

(Peaks) الظاهرة في الشكل المذكور ، اما الشكل (b3) فنلاحظ من الشكل ان الحبيبات تكون اكبر من الحبيبات المتكونة في حالة اذا كان زمن الطلاء ساعة واحدة وهذا يعود الى زمن الطلاء يكون اقصر وبذلك تترسب حبيبات اكثراً خشونة وهذا كان واضحاً من نتائج اختبار حيود الاشعة السينية اذ اظهرت ان هذه الطبقة اقل تبلور ، اما الشكل (c3) فنلاحظ من الشكل ان الحبيبات تكون اكبر من الحبيبات المتكونة في حالة اذا كان زمن الطلاء (60 min) او (30 min) وهذا يعود الى زمن الطلاء يكون اقصر وبذلك تترسب حبيبات اكثراً خشونة وهذا كان واضحاً من نتائج اختبار حيود الاشعة السينية اذ اظهرت ان هذه الطبقة اقل تبلور .

• نتائج اختبار التآكل في ماء الحنفية الاعتيادي (Tap Water):

جرى هذا الاختبار عند درجة حرارة الغرفة وفي ماء الحنفية الاعتيادي حيث تم حساب التغير في وزن العينة لفترات تعرض مختلفة والحصول على الوزن المفقود لوحدة المساحة . والشكل (4) يبين تأثير فترة التعرض لماء الحنفية في الوزن المفقود لعينات الفولاذ الكربوني المطلية بسبيكة (-Zn) وعينة فولاذ بدون طلاء .

أظهر المعدن الاساس (الفولاذ واطئ الكاربون) نقصاناً مستمراً بالوزن بزيادة فترة التعرض لماء الحنفية الاعتيادي كما مبين في الشكل (4) . ويعزى ذلك الى ان نواتج التآكل المتكونة خلال فترة التعرض هذه لا توفر الحماية لسطح الفولاذ [Fontana and Green,1978] ، لذلك كان لزاماً البحث عن وسيلة لحماية سطح الفولاذ .

اما طبقات الطلاء ذات زمن طلاء (15,30min) فقد اظهرت زيادة مستمرة بالوزن وبمعدلات مختلفة مع زيادة زمن الغمر في الماء ، ويعزى ذلك لوجود مسامات وتشققات بنسبة مختلفة في طبقات الطلاء .

اما طبقة الطلاء ذات زمن طلاء (60 min) فلم تظهر فقدان بالوزن لحد ثلاثة ايام يمكن ان يعزى ذلك الى الحماية الكبيرة التي توفرها نواتج التآكل النامية على طبقة الطلاء بسبيكة (Zn-Ni) ، اعقبها نقصان بالوزن بعد ثلاثة ايام اذ لم تعد تشكل هذه الطبقة حاجزاً فعالاً (Barrier) لمنع التقاء الايونات بين المحلول (Tap water) وسطح عينات الفولاذ .

• نتائج اختبار التآكل في المحلول الملحي : (Salt Solution)

جرى هذا الاختبار عند درجة حرارة الغرفة وفي محلول (3% NaCl) وزناً حيث تم حساب التغير في وزن العينة لفترات تعرض مختلفة والحصول على الوزن المفقود لوحدة المساحة والشكل (5) تأثير فترة التعرض لمحلول (3% NaCl) وزناً في الوزن المفقود لعينات الفولاذ الكربوني المطلية بسبيكة (Zn-Ni) وعينة فولاذ بدون طلاء [V.Ravindran and V.S.Muralidharan, 2006].

ابدت دراسة طبقي الطلاء (Zn-Ni)_{30min} (Zn-Ni)_{15min} وعينة الفولاذ الكربوني بدون طلاء نقصاناً مستمراً بالوزن بشكل عام مع زيادة فترة التعرض للمحلول الملحي (3% NaCl) وزناً ، ماعدا

طبقة الطلاء $(Zn-Ni)$ فقدت اظهرت زيادة بالوزن لحد زمن تعرض للمحلول الملحي بلغ ثلاثة ايام اعقبها نقصان بالوزن ، هذا السلوك يدل على انحلال او ذوبان نواتج التآكل في المحلول الملحي ، اما الفقدان المستمر بالوزن لطبقات الطلاء $(Zn-Ni)$ و $(Zn-Ni)$ فهذا يتطابق معحقيقة كون الطبقات الرقيقة تحتوي على نسبة اعلى من المسامية [Scully,J.C.,1990] ، اذا تمثل هذه المسامية موقع او مرات لحركة الايونات ثم زيادة في معدل الفقدان. كما مبين في الشكل (5).

ومقارنة مع التعرض الى ماء الحنفية الاعتيادي فأن معدل الفقدان هنا اكثر من نظيره في ماء الحنفية الاعتيادي ويمكن ان يعزى ذلك الى زيادة ناقلات الشحنة الناتجة عن تأين الملح .

• نتائج اختبار التآكل في المحاليل الحامضية (Acidic Solutions) :

جرى هذا الاختبار عند درجة حرارة الغرفة وفي محلول (3% HCl) حجماً حيث تم حساب التغير في وزن العينة لفترات تعرض مختلفة والحصول على الوزن المفقود لوحدة المساحة والشكل (6) تبين تأثير فترة التعرض لمحلول (3% HCl) حجماً في الوزن المفقود لعينات الفولاذ الكربوني المطلية بسيكة $(Zn-Ni)$ ذات سماكة طلاء مختلف وعينة فولاذ بدون طلاء .

اظهرت كافة طبقات الطلاء مرة اخرى نقصاناً مستمراً في الوزن مع زيادة فترة التعرض للمحلول الحامضي كما مبين في الشكل (6) . ومقارنة بقيمة الفقدان في المحلول الملحي المبين في الشكل (5) فان ما تفقده هذه النماذج في دقائق اكثر مما تفقده في ايام في ماء الحنفية الاعتيادي او المحلول الملحي . ان الزيادة الكبيرة في الفقدان بالوزن للمحلول الحامضي مقارنة بباقي الاوساط يعزى بشكل اساسي الى وجود ايونات الهيدروجين الموجبة (H^+) التي تعمل على تصريف الاكترونات وتعجيل التفاعل .

إن طبقة التغطية $(Zn-Ni)$ توفر حماية ضد التآكل للنموذج الفولاذى المطلى بها وذلك بسبب مقاومة هذه الطبقة للأوساط التآكلية المختلفة ، حيث أن طبقة الطلاء $(Zn-Ni)$ تعد طبقة تضخيمية Single Anodic (Sacrificial anode) للمعدن الاساس ، إن هذه المقاومة تأتي من الطور الاحادي (phase Manida) ، الذي كما بينا سابقاً يحتوى نسبة نيكل تتراوح بحدود 10% ، [Teeratananon,2004] . إن نسبة النيكل هذه تعطي مقاومة ضد التآكل أفضل ست مرات مما لو كان الخامصين متربساً لوحده ، [Manida Teeratananon,2004] ، وذلك لأن النيكل الموجود في السيكة Ductile المترسبة يعمل على زيادة مقاومة السيكة ، لأن النيكل كما هو معروف عنصر مطيلي (A.Weymersch, 1988) .

لقد بيّنت نتائج اختبار فلورة الاشعة السينية (XRF) نسب المكونات من الخامصين والنيكل لطبقة الطلاء وللتتأكد من أن هذه النسب تقع ضمن الطور الاحادي (8) ، الذي تكون فيه نسبة

النيكل بحدود (10%) ، الجدول (4) [Manida Teeratananon,2004] يبين نسب مكونات طبقات الطلاء .
الاستنتاجات:

١. البحث الحالي اظهر وجود علاقة بين خواص طبقة الطلاء بصورة عامة وسمكها اذ تبلغ مقاومة التآكل قيم جيدة في كل الاوساط التآكيلية لطبقة الطلاء $(Zn-Ni)_{60\text{ min}}$.
٢. ان طبيعة التبلور لطبقات الطلاء الثلاث المترسبة كانت بالترتيب التالي:
 $(Zn-Ni)_{60 \text{ min}} > (Zn-Ni)_{30 \text{ min}} > (Zn-Ni)_{15 \text{ min}}$
٣. ان حجم حبيبات الطلاء المترسبة لطبقات الطلاء الثلاث كانت بالترتيب التالي:
 $(Zn-Ni)_{15 \text{ min}} > (Zn-Ni)_{30 \text{ min}} > (Zn-Ni)_{60 \text{ min}}$
٤. مقاومة التآكل لطبقة الطلاء $(Zn-Ni)$ في ماء الحفمية الاعتيادي وفي المحلول الملحي للكلوريد الصوديوم (3% NaCl) وزناً وفي المحلول الحامضي لحامض الهيدروكلوريك (3% HCl) حجماً كان بالترتيب التالي :
 $(Zn-Ni)_{60 \text{ min}} > (Zn-Ni)_{30 \text{ min}} > (Zn-Ni)_{15 \text{ min}} > (LCS)$

الجدول (1) يوضح النسب المئوية للتركيب الكيميائي لنماذج الفولاذ الكاربوني المستخدمة .

C	Si	Mn	Cr	Fe
0.12	0.17	0.65	0.04	Rem

الجدول (2) يبين نسب المكونات لمحلول الطلاء المستخدم في الدراسة الحالية .

ظروف الترسيب	التركيب الكيميائي	المحلول
pH = 12.5 درجة الحرارة = 25°C زمن الطلاء = 15,30,60 min كثافة التيار = (2.5)Amp/dm ²	ZnO=6-12 g/l NiCl ₂ .6H ₂ O=1-1.5 g/l NaOH=100-120 g/l	Zn-Ni

الجدول (a3) يبين نتائج اختبار حيود الأشعة السينية لعينة مطليّة بسبيكة $(Zn-Ni)_{60 \text{ min}}$

2θ(deg)	d-spacing	Intensity(counts)
39.133	2.200	٦٠
41.982	2.150	٦٩
42.923	2.105	٦٠
43.037	2.086	١٠٠
45.305	2.025	٦٠

. (Zn-Ni) 30 min الجدول (b3) يبين نتائج إختبار حيود الأشعة السينية لعينة مطلية بببيكة

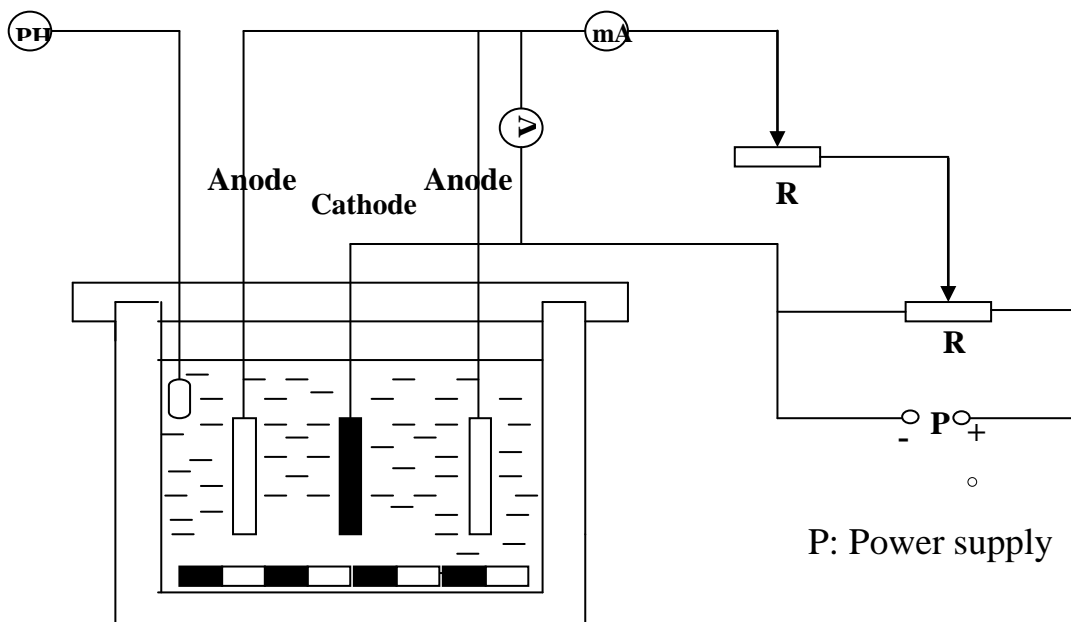
$2\theta(\text{deg})$	d-spacing	Intensity(counts)
36.356	2.469	٢٨
39.028	2.306	٢٥
43.032	2.100	١٥
43.262	2.089	١٠٠
44.642	2.028	٢٠

. (Zn-Ni) 15 min الجدول (c3) يبين نتائج إختبار حيود الأشعة السينية لعينة مطلية بببيكة

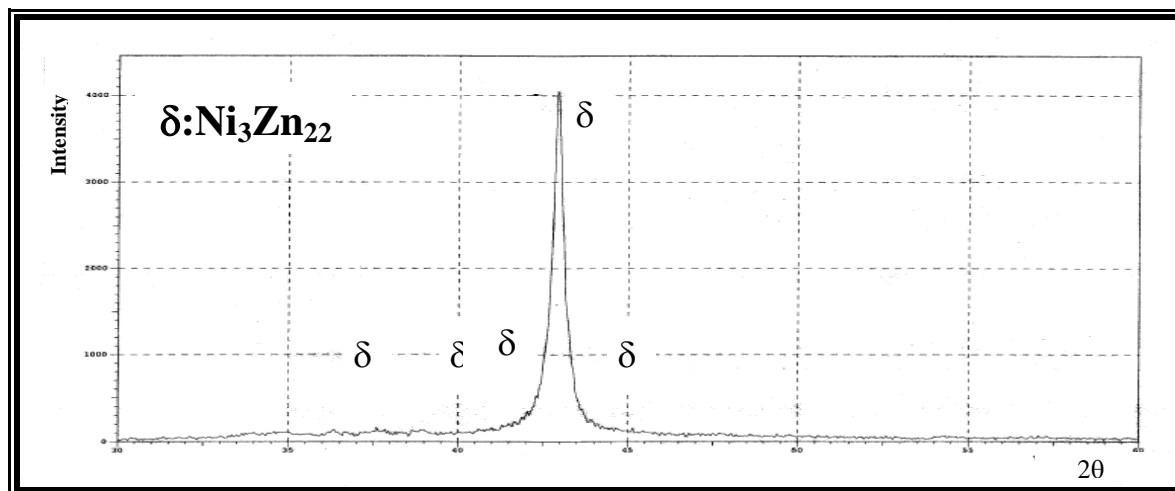
$2\theta(\text{deg})$	d-spacing	Intensity(counts)
36.330	2.470	47
39.034	2.305	28
43.261	2.089	100
44.658	2.027	5
45.305	2.000	٢٠

. (Zn-Ni) الجدول (٤) يبين نسب مكونات طبقة الطلاء

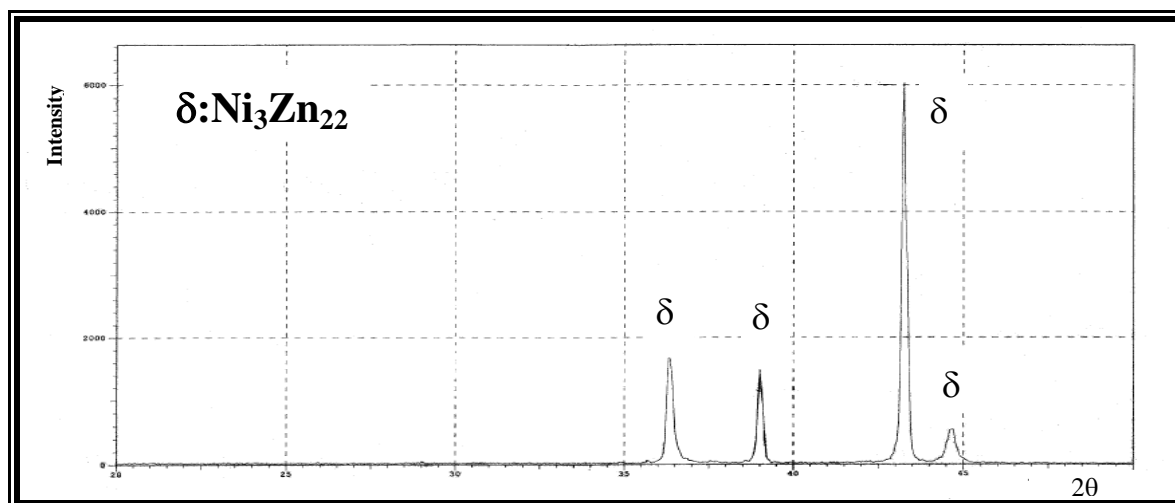
النسبة الوزنية المئوية للعنصر	العنصر	طبقة الطلاء
90.3	Zn	Zn-Ni
9.7	Ni	



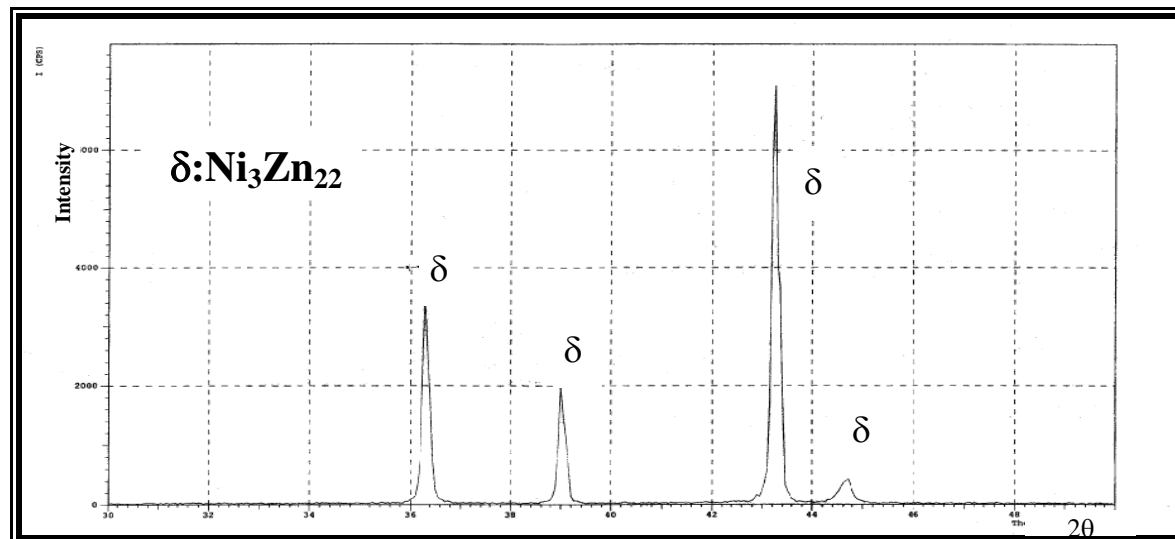
. الشكل (1) يبين رسمياً تخطيطياً لخلية الطلاء الكهربائي .



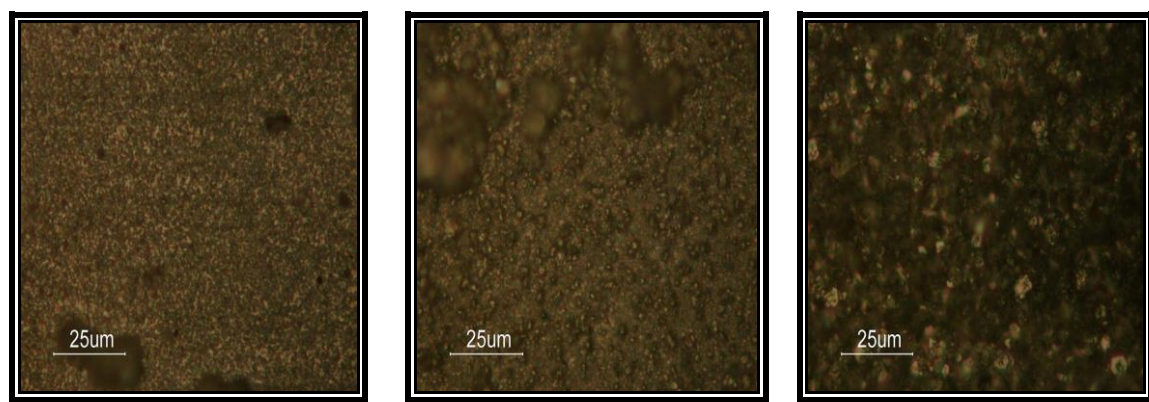
الشكل (a2) يوضح نتائج اختبار حيود الأشعة السينية لعينة مطالية بسبيكة . (Zn-Ni) 60min



الشكل (b2) يوضح نتائج اختبار حيود الأشعة السينية لعينة مطالية بسبيكة . (Zn-Ni) 30 min



الشكل (c2) يوضح نتائج اختبار حيود الأشعة السينية لعينة مطالية بسبيكة . (Zn-Ni) 15 min

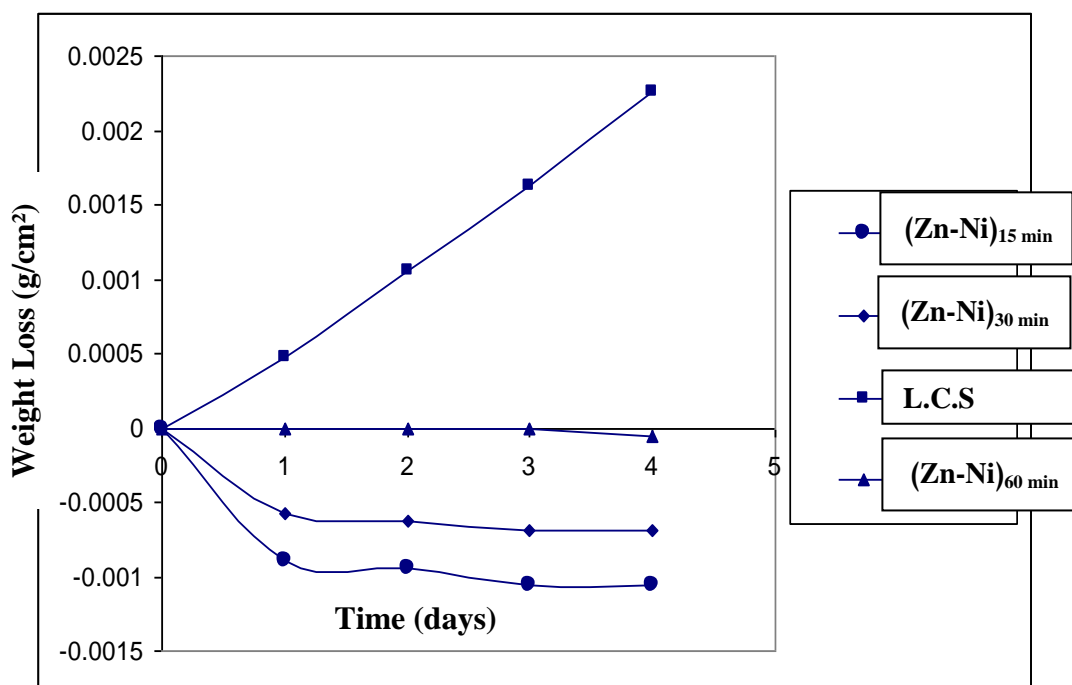


(a)

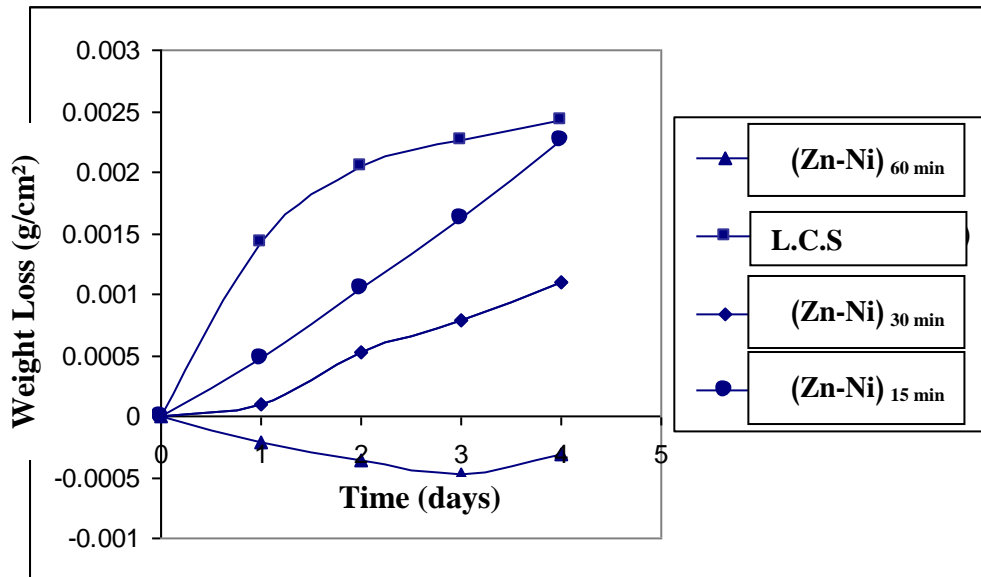
(b)

(c)

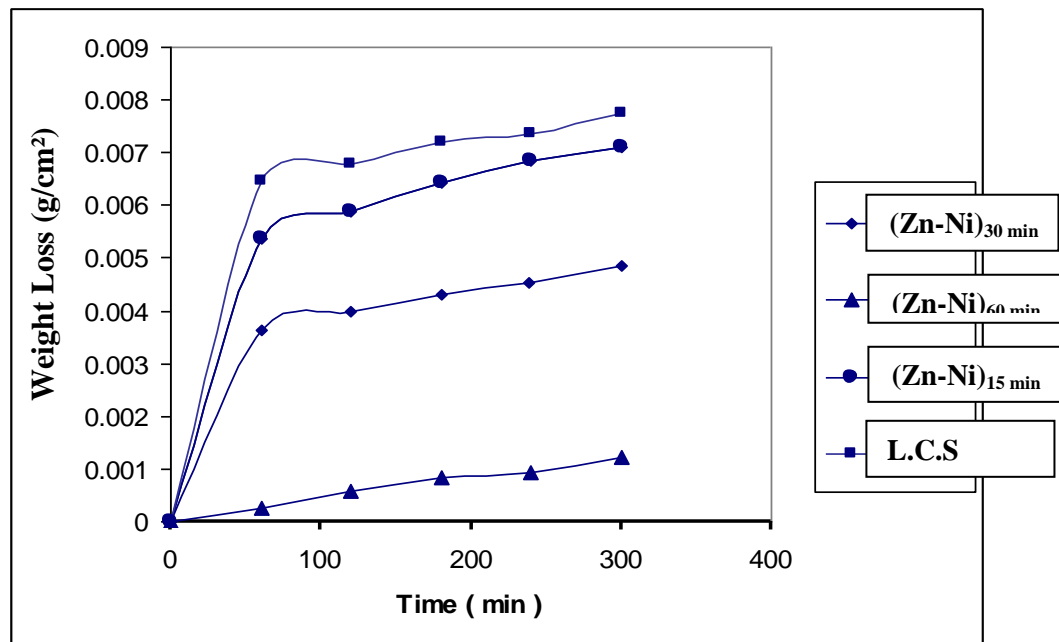
- . (a) يبين سطح عينة فولاذ كاربوني المطلية بسبائك $(Zn-Ni)_{60\ min}$
 - . (b) يبين سطح عينة فولاذ كاربوني المطلية بسبائك $(Zn-Ni)_{30\ min}$
 - . (c) يبين سطح عينة فولاذ كاربوني المطلية بسبائك $(Zn-Ni)_{15\ min}$
- الشكل (3) يبين تصارييس سطح العينات عند قوة تكبير (1000x).



الشكل (4) يوضح تأثير فترة التعرض لماء الحنفية في الوزن المفقود لعينات الفولاذ الكربوني بدون طلاء وعينات مطلية بسبائك $(Zn-Ni)$.



الشكل (5) يوضح تأثير فترة التعرض لمحلول (3%NaCl) وزناً في الوزن المفقود لعينات الفولاذ الكربوني بدون طلاء وعينات مطلية بسبائك (Zn-Ni).



الشكل (6) يوضح تأثير فترة التعرض لمحلول (3%HCl) وزناً في الوزن المفقود لعينات الفولاذ الكربوني بدون طلاء وعينات مطلية بسبائك (Zn-Ni).

المصادر:

المعهد المتخصص للصناعات الهندسية، 1989، "دليل الطلاء الكهربائي للمعادن" دائرة التعامل الكيميائي، بغداد.

محمد عبد المهي، 2000، "الطلاء الكهربائي لحماية الفولاذ الكاربوني" رسالة ماجستير مقدمة إلى قسم هندسة المواد -جامعة بابل.

J.A.Murphy, 1971, "Surface Preparation and Finishes for Metals", McGraw-Hill, Inc. .

I.H.Karahan, 2008, "Electrodeposition and Properties of ZnFeNi alloys", The Physical Society of the republic of China, Vol: 46, No.1, P (105-112). stimulates, A.Afshar, A.G. Dolati, and M. Ghorbain, Master. Chem. Phys. 77, 352 (2002).

P.Ganesan, S.P.Kumaraguru, B.N.Popov, USA, 2007, "Development of compositionally modulated multilayer Zn-Ni deposits as replacement for cadmium". Stimulates, N.Muira, T. Saito, T. Kanamaru, Y. Shindo, Y. Kitazawa, Trans. Iron Steel Inst. Jpn. 23 (1983) 913.

H.Fennessey, 1994, "Technical Alternatives to Cadmium Electroplating", operated by Concurrent Technologies Corporation .

Manida Teeratananon, 2004, " Current Distribution Analysis of Electroplating Reactors and Mathematical Modeling of the Electroplated Zinc-Nickel Alloy", Ph.D.Thesis, Chulalongkorn University, Chemical Technology.

Fontana and Green, 1978, "Corrosion Engineering", McGraw-Hill, 2nd ed..

V.Ravindran and V.S.Muralidharan, 2006, "Characterization of zinc-nickel alloy electrodeposits obtained from sulphamate bath containing substituted aldehydes", Indian Academy of Sciences, Vo.29, No.3, P(293-301). Stimulates, Ravindran Visalakshi and Muralidharan VS 2003 J. Sci. Ind. Res. 62718.

Scully,J.C., 1990, " The Fundamentals of Corrosion", Pergamon Press, 3rd ed.. High-Current-Density Electroplating of Zinc-Nickel and Zinc-Iron alloys", Plating and surface finishing(68-73) .